

Developing a Standard Smoothed Particle Hydrodynamic Model for Free Surface Flows

A. Valizadeh¹, M. Shafieefar^{2*}
and A.A. Salehi Neyshabouri³

Abstract

In This paper a Lagrangian model is presented based on weakly compressible SPH method used for simulation of free surface flows with violated changes in free surface. Dam break in a closed tank was simulated here as one of the main test cases for validation of the free surface flow model and its results were compared with the experimental data, analytical solutions, and previous numerical results. Also, in order to study the effects of viscosity, the shear flow between two parallel plates (Couette flow) and shear cavity flow are modeled and the results were compared with the available analytical and numerical results. All comparisons showed the power of the developed model in modeling free surface and shear flows.

Keywords: Lagrangian Methods, Free Surface Flows, Weakly Compressible SPH Method, Dam break, shear cavity, Couette flow.

Received: August 21, 2009

Accepted: August 03, 2011

ارایه یک مدل هیدرودینامیک ذرات هموارشده (SPH) استاندارد برای شبیه سازی جریانهای با سطح آزاد

علیرضا ولیزاده^۱، مهدی شفیعی فر^{۲*}
و علی اکبر صالحی نیشابوری^۳

چکیده

در این مقاله یک مدل لAGRANZI مبتنی بر حرکت ذرات که براساس روش هیدرودینامیک ذرات هموارشده تراکم پذیر (SPH) تهییه شده است، ارایه می شود. این مدل قادر به شبیه سازی جریانهای سطح آزاد با تغییرات شدید در سطح آزاد است. شکست سد درون یک مخزن بسته به عنوان یکی از آزمونهای اصلی در صحت سنجی مدل های عددی جریانهای با سطح آزاد در اینجا شبیه سازی می شود و نتایج آن با نتایج آزمایشگاهی، تحلیلی و عددی پیشین مقایسه می گردد. همچنین جریان بین دو صفحه موازی (Couette flow) و جریان گودال برشی به منظور بررسی تأثیر لزجت شبیه سازی و با نتایج عددی مقایسه می شوند. همه نتایج بیانگر عملکرد مناسب مدل تهییه شده می باشند.

کلمات کلیدی: روش های لAGRANZI، جریانهای با سطح آزاد، روش SPH تراکم پذیر، شکست سد، جریان بین دو صفحه موازی، جریان گودال برشی.

تاریخ دریافت مقاله: ۳۰ مرداد ۱۳۸۸

تاریخ پذیرش مقاله: ۱۲ مرداد ۱۳۹۰

1- PhD Civil Engineering, Tarbiat Modares University, Tehran, Iran, Email: vali802000@yahoo.com

2- Associate Professor, Civil Engineering Dep., Tarbiat Modares University, Tehran, Iran, Email: shafiee@modares.ac.ir

3- Professor, Civil Engineering Dep., Tarbiat Modares University, Tehran, Iran, Email: salehi@modares.ac.ir

*- Corresponding Author

۱- دانش آموخته دکتری مهندسی عمران، دانشگاه تربیت مدرس، تهران، ایران.

۲- دانشیار دانشکده مهندسی عمران و محیط زیست، دانشگاه تربیت مدرس، تهران، ایران.

۳- استاد دانشکده مهندسی عمران و محیط زیست، دانشگاه تربیت مدرس، تهران، ایران.

*- نویسنده مسئول

۱- مقدمه

شکل لاگرانژی معادلات خطاهای پخش عددی حذف میشوند و از اینرو میتوان تغییرات سریع در جریان را راحتتر شبیه سازی نمود، لذا در این تحقیق براساس روش SPH تراکمپذیر مدل جریان سطح آزاد تهیه میشود.

در اینجا پس از معرفی اصول روش SPH و ارایه معادلات و فرمولهای لازم، و ارایه آزمونهای پایه برای مدل تهیه شده، شبیه سازی شکست سد درون یک مخزن بسته به عنوان یکی از جریانهای سطح آزاد با تغییرات شدید در سطح آزاد، انجام میگیرد و مقایسه این نتایج با نتایج عددی، آزمایشگاهی و تحلیلی ارایه میشود.

۲- معادلات حاکم

شکل لاگرانژی معادلات بقای جرم و بقای مومنتم در روش SPH به صورت زیر میباشد (Monaghan, 1994):

$$\frac{D\rho}{Dt} = -\nabla \cdot (\rho u) + u \cdot \nabla \rho. \quad (1)$$

$$\frac{Du}{Dt} = -\frac{1}{\rho} \nabla p + \nu \nabla^2 u + f_b \quad (2)$$

که ρ ، u و t به ترتیب بیانگر چگالی سیال، سرعت سیال و زمان میباشند. ، p فشار، ν ضریب لزجت و f_b نیروی حجمی (مثل جاذبه زمین) را بیان میدارند.

در روش SPH تراکمپذیر به جای استفاده از معادله پواسون برای محاسبه فشار، با تعریف رابطه ای بین فشار و چگالی به صورت معادله حالت زیر (Batchelor, 1974) فشار بر حسب تغییرات چگالی محاسبه میشود:

$$p = B \left[\left(\frac{\rho}{\rho_0} \right)^\gamma - 1 \right] \quad (3)$$

در اینجا فشار بر حسب پاسکال (Pa) $B = c^2 \rho_0 / \gamma$ فشار مبنی و ρ_0 چگالی مبنی، γ عدد ثابتی است که در اکثر شبیه سازیها مساوی ۷ در نظر گرفته شده است (Monaghan, 1994). c سرعت صوت میباشد که معمولاً با سرعت واقعی صوت در سیال متفاوت است و در حدود ۱۰ برابر بیشترین سرعت محتمل ذرات سیال در مساله مورد حل اتخاذ میشود. با استفاده از این تکنیک تغییرات چگالی در سیال آب حدود ۱٪ چگالی اصلی آب خواهد بود (Monaghan, 1994) و میتوان گفت که در طول حل چگالی آب تقریباً ثابت میماند.

محاسبه عددی جریان های سطح آزاد غیرخطی شبیه شکست سد و شکست موج آسان نیست زیرا شکل و مکان مرز سطح آزاد بین هوا و آب از قبل تعیین شده نمیباشد. علاوه بر این جداسدگی و درهم فرورفتگی های ناپایدار نیز اغلب در این نوع جریانها رخ میدهند. استفاده از روش های عددی اویلری (پناهی و همکاران، ۱۳۸۶)، (Lin & Liu, 1998) یا MAC در شبیه سازی این جریانها رایج است که به دلیل پخش عددی و لزوم حل معادلات مخصوص در مرز سطح آزاد مشکلات خاص خود را دارند.

روش های لاگرانژی مبتنی بر حرکت ذرات شبیه روش هیدرودینامیک ذرات هموارشده (Smoothed Particle Hydrodynamics) (SPH) یا به صورت مختصر روش SPH (Monaghan, 2005) و روش نیمه ضمنی ذرات متحرک (MPS) (Kushizuka et al., 1998) در سالهای اخیر برای شبیه سازی جریانهای مختلف به کار برده شده اند. از جمله مطالعه شکست امواج و از سرگذری موج از روی سازه های ساحلی (Dalrymple & Knio, 2001; Gomez-Gesteira et al., 2005; Shao & Lo, 2003; Gotoh et al., 2004) امواج ضربه ای (منصور پایی و عطایی آشتیانی، ۱۳۸۷) و جابجایی مایع درون مخزن (حسینی امین و تقی زاده منظری، ۱۳۸۳) با استفاده از روش SPH مدل سازی شده اند. در روش MPS به منظور تعیین فشار که با استفاده از حل معادله پواسون به صورت ضمنی به دست می آید (Kushizuka et al., 1998)، باید ذرات مرزی مشخص شوند، اما در روش SPH تراکمپذیر، سیال تراکمپذیر فرض میشود و فشار با استفاده از یک معادله حالت محاسبه میشود، در نتیجه محاسبات کمتری نسبت به روش MPS نیاز دارد (Benz, 1990;). مزیت مهم دو روش SPH و MPS در این است که به دلیل استفاده از معادلات لاگرانژی ناویر استوکس، ترم های جابجایی حذف میشوند و خطای پخش عددی خودبخود از بین می رود (Vaughan, 2005). به دلیل اینکه هزینه محاسباتی روش MPS نسبت به روش SPH بیشتر است و دقت شبیه سازی های انجام شده با استفاده از روش SPH Vaughan, 2005;)، با توجه به اینکه در روش SPH نیاز SPH به تعریف شرایط مرزی خاص در مرز آزاد جریان وجود دارد (در حالی که در روش های اویلری مثل VOF برای تعریف مرز سطح آزاد از جریان دوفازی استفاده میشود و قسمت عمده ای از محاسبات در این قسمت انجام میشود)، همچنین به دلیل حذف ترم های انتقال در

$$(8) \quad W_{ij} = \frac{96}{1199\pi h^2} \begin{cases} (2.5-q)^4 - 5(1.5-q)^4 + 10(0.5-q)^4 & 0 \leq q \leq 0.5 \\ (2.5-q)^4 - 5(1.5-q)^4 & 0.5 \leq q \leq 1.5 \\ (2.5-q)^4 & 1.5 \leq q \leq 2.5 \\ 0 & 2.5 \leq q \end{cases}$$

که $q = r_{ij}/h_{ij}$ است. طول هموارساز h به اندازه $1/4$ برابر فاصله اولیه بین ذرات در نظر گرفته می‌شود.

روش SPH یک روش عددی صریح می‌باشد که می‌توان آن را با استفاده از روش‌های موجود مانند Runge-Kutta، پیش‌بینی-تصحیح Leap-Frog و روش Leap-Frog حل کرد. در این تحقیق روش Leap-Frog مرتبه دو به کار می‌رود زیرا به فضای حافظه کمتری نیاز دارد و در هر گام زمانی فقط یک مرتبه نیروها را محاسبه می‌کند (Wit, 2006). بنابراین در معادلات (۴) تا (۶)، سرعت، چگالی و موقعیت ذره در گام‌های زمانی میانی به صورت زیر تخمین زده می‌شوند:

$$(9) \quad \begin{aligned} \rho^{n+1/2} &= \rho^{n-1/2} + \Delta t f_1(\hat{u}^{*n}, x^n), \\ u^{n+1/2} &= u^{n-1/2} + \Delta t f_2(\rho^{*n}, u^{*n}, x^n), \end{aligned}$$

$$x^{n+1} = x^n + \Delta t \hat{u}^{*n+1/2}$$

که \hat{u} از رابطه (۶) به دست می‌آید. تخمین ρ^{*n}, u^{*n} به صورت زیر است:

$$(10) \quad \begin{aligned} \rho^{*n} &= \rho^{n-1/2} + \frac{1}{2} \Delta t f_1(\hat{u}^{*n-1}, x^{n-1}), \\ u^{*n} &= u^{n-1/2} + \frac{1}{2} \Delta t f_2(\rho^{*n-1}, u^{*n-1}, x^{n-1}) \end{aligned}$$

شرط فردریک-کورانت نیز باید به صورت زیر برآورده شود (Monaghan, 1992)

$$(11) \quad \Delta t \leq \min(0.4 \frac{h}{c + 0.6\alpha\Pi c}, \min 0.25(\frac{h}{f_i})^2)$$

که در آن c سرعت صوت، α پارامتر مربوط به لزجت مصنوعی و f_i ماکریم شتاب (نیرو بر واحد جرم) ذرات است.

در شبیه‌سازی مرزهای بسته در این تحقیق از روش اصلاح شده موناگان (Monaghan, 2005) استفاده می‌شود که مرز جامد را با یک ردیف ذرات که دارای جرم و چگالی ثابت (معمولًا برابر با چگالی ذرات سیال) و فشار صفر هستند، بیان می‌کند. مکان این ذرات در طول حل ثابت است. با فرض اینکه a ذره سیال و k ذره مرزی و n_k بردار واحد عمود بر مرز در محل ذره k باشد، آنگاه نیروی وارد بر ذره k از طرف ذره a برابر است با:

معادلات (۱) و (۲) با استفاده از فرمولاسیون SPH و به منظور تعیین تغییرات زمانی چگالی، سرعت و تغییر موقعیت ذرات سیال به صورت زیر گسترش‌سازی می‌شوند:

$$(4) \quad \frac{D\rho_i}{Dt} = f_1(\hat{u}, x) = \sum_j m_j (u_i - u_j) \cdot \nabla_i W_{ij}$$

$$(5) \quad \begin{aligned} \frac{Du_i}{Dt} &= f_2(\rho, u, x) = \\ &- \sum_j m_j (\frac{p_i}{\rho^2 i} + \frac{p_j}{\rho^2 j} + \Pi_{ij}) \nabla_i W_{ij} + f_i \end{aligned}$$

$$(6) \quad \frac{Dx_i}{Dt} = \hat{u} = u_i + \varepsilon \sum_j m_j (\frac{u_j - u_i}{\bar{\rho}_{ij}}) W$$

که i و j بیانگر شماره ذرات، m_j و P_j به ترتیب جرم، $W_{ij} = W(x_i - x_j, h)$ چگالی، فشار و سرعت مربوط به ذره j ، u_i و u_j به ترتیب جرم، مقدار تابع هموارسازی برای اندرکنش بین ذره i و ذره j می‌باشد. در اینجا x برداری است که موقعیت ذرات را نشان می‌دهد. $\varepsilon = (\rho_i + \rho_j)/2$ ضریبی است که در حالت کلی بین صفر و یک انتخاب می‌شود و اگر برابر یک باشد، ذره با سرعت میدان حرکت می‌کند و اگر برابر با صفر باشد ذره فقط با سرعت خودش حرکت خواهد کرد (در این تحقیق $\varepsilon = 0.5$ در نظر گرفته می‌شود). Π_{ij} ترم تنش لزجت می‌باشد که برای پایداری حل در اکثر شبیه‌سازیها ضروری می‌باشد و در بعضی از آزمونها میتواند به عنوان لزجت مصنوعی عمل کند. ترم لزجت به صورت زیر شبیه‌سازی می‌شود (Monaghan, 2005):

$$(7) \quad \Pi_{ij} = \begin{cases} 0 & u_{ij} \cdot r_{ij} \geq 0 \\ -\frac{\alpha hc}{\bar{\rho}_{ij}} \frac{u_{ij} \cdot r_{ij}}{r_{ij}^2 + \varphi^2} & u_{ij} \cdot r_{ij} < 0 \end{cases}$$

که α مقدار ثابتی است که بین ۰/۰۱ و ۱ قرار دارد. $u_{ij} = u_i - u_j$ چگالی متوسط است. $\bar{\rho}_{ij} = (\rho_i + \rho_j)/2$ اختلاف سرعت، $r_{ij} = r_i - r_j$ فاصله بین دو ذره و c سرعت صوت می‌باشد. $\varphi = 0.1h_{ij}$ برای جلوگیری از صفرشدن مخرج کسر هنگامیکه دو ذره خیلی به هم نزدیک باشند، به کار می‌رود. که $h_{ij} = (h_i + h_j)/2$ است.

تابع میانیاب نواری مرتبه چهارم (quadratic spline) به کار می‌رود که شکل دو بعدی آن به صورت زیر می‌باشد (Liu & Liu, 2003):

۳- نتایج شبیه‌سازی‌های مدل SPH

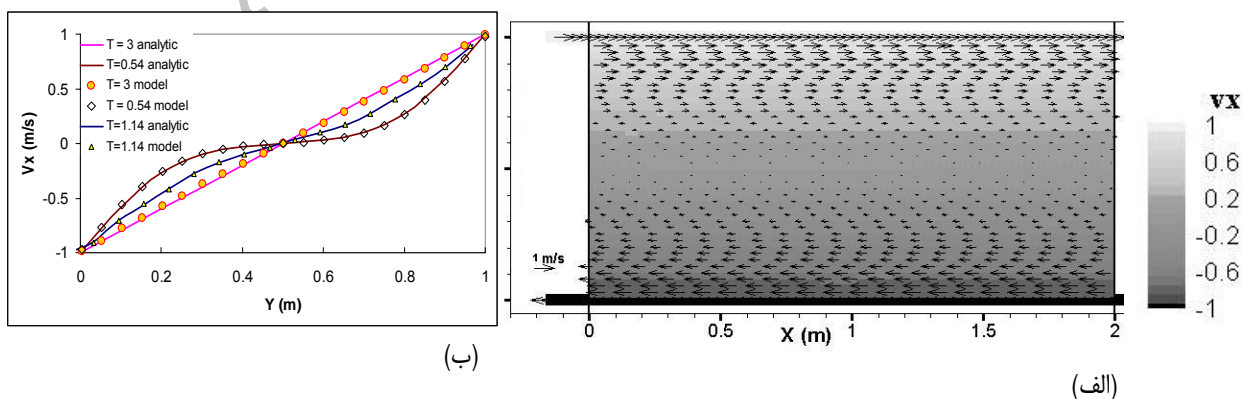
بررسی عملکرد مدل تهیه شده صحت‌سنجی آن با اجرای مدل برای تعدادی از آزمونهای هیدرودینامیک صورت پذیرفته است که در ادامه برخی از آزمونهای انجام‌گرفته شامل جریان بین دو صفحه موازی، جریان گودال بر بشی و شکست سد ارایه می‌گردد.

۱-۳- جریان بین دو صفحه موازی

دو صفحه موازی نامحدود به فاصله یک متر از هم قرار دارند و در نبود نیروی جاذبه زمین این دو صفحه با سرعت برابر با U و در خلاف جهت هم حرکت می‌کنند، شرایط اولیه سرعت جریان در همه ذرات صفر است و با گذشت زمان باید به حالت پایدار برسد. حل تحلیلی این مساله برای شرایط بیان شده به صورت زیر است : (Batchelor, 1974)

$$u_x = -U(1-2y) + \frac{4U}{\pi} \sum_{j=2,4,6,\dots}^{\infty} \frac{1}{j} \sin(j\pi y) \exp(-j^2 v \pi^2 t) \quad (15)$$

که v لزجت سینماتیکی، x راستای حرکت صفحات و y جهت عمود بر صفحات، t زمان و U سرعت حرکت دیواره‌هاست. در این شبیه‌سازی U برابر با واحد، $v = 3.0 \times 10^{-2} m^2/s$ و تعداد ذرات 8×10^5 ذره با فاصله اولیه $0.05 m$ به کار برده می‌شوند. در شکل ۱ مقایسه سرعتها برای حل تحلیلی و حل SPH نشان داده شده است. در این شکل T زمان بر حسب ثانیه است. پس از ۰.۵ ثانیه جریان به حالت پایدار می‌رسد و در تمام مراحل گسترش جریان نتایج هر دو مدل کاملاً بر هم منطبق هستند و سرعت قائم ذرات صفر و سرعت افقی در $y=0.5$ صفر است (شکل ۱-ب).



شکل ۱- جریان بین دو صفحه موازی؛ (الف) بردارهای سرعت (ب) مقایسه سرعت در راستای x

$$f_{ka} = -\frac{m_a}{m_a + m_k} B(x, y) n_k \quad (12\text{ الف})$$

و نیروی وارد بر ذره سیال از طرف ذره مرزی برابر است با:

$$f_{ak} = \frac{m_k}{m_a + m_k} B(x, y) n_k \quad (12\text{ ب})$$

$B(x, y) = \Gamma(y)\chi(x)$ در راستای عمود بر مرز و x فاصله افقی دو ذره در راستای موازی با مرز است.

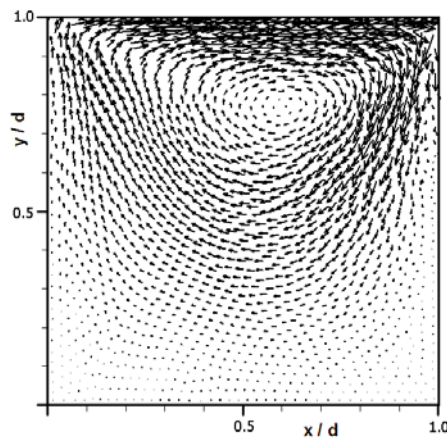
$$\chi(x) = \begin{cases} (1 - \frac{x}{\Delta p}) & 0 < x < \Delta p \\ 0 & \text{otherwise} \end{cases} \quad (13)$$

$$\Gamma(y) = \beta \begin{cases} 2/3 & 0 < q < 2/3 \\ (2q - 3q^2/2) & 2/3 < q < 1 \\ 0 & 1 < q < 2 \end{cases} \quad (14)$$

که $q = r_{ij}/h$ و r_{ij} فاصله بین ذره سیال و ذره مرزی و Δp فاصله اولیه بین ذرات است و $\beta = 0.02 * c_s^2 / y$. تخمینی از ماکریم نیروی لازم جهت جلوگیری از عبور ذره از مرز می‌باشد. این رابطه باعث می‌شود که ذره‌ای که موازی با مرز حرکت می‌کند در اثر نیروهای مرزی دچار نوسان نشود و اثر مرز به درستی اعمال شود.

به منظور یافتن ذرات مجاور یک ذره برای محاسبه اندرکنش‌ها از الگوریتم معروف به شبکه زنجیره‌ای (link-list) استفاده می‌شود (Monaghan, 1985). در این الگوریتم در هر گام زمانی تمام محیطی که ذرات در آن قرار دارند به شبکه مربع یا مستطیلی تقسیم‌بندی می‌شود. و در هنگام جستجو برای یافتن ذرات همسایه یک ذره، مقایسه فقط با ذراتی انجام می‌شود که درون یکی از ۹ المان مجاور المان مربوط به ذره قرار داشته باشند (ولیزاده، ۱۳۸۷).

مجدداً به حالت پایداری می‌رسد که مقدار اندکی با حالت پایدار اولیه متفاوت است و تا پایان محاسبات که برای ۳ ثانیه انجام شده است، پایدار می‌ماند. در مقایسه با پایداری اولیه، نتایج به دست آمده از پایداری نهایی بسیار نزدیکتر به نتایج روش تفاضل محدود (FDM) می‌باشد. در شکل ۲ بردارهای سرعت در مرحله پایداری نهایی نشان داده شده‌اند و می‌توان الگوی جریان گردابی را به خوبی مشاهده نمود. در این شکل طول بردارها نشان دهنده اندازه بردار سرعت است (شکل ۳-الف نیمرخ‌های $d=0.001$ m, $U_0=0.001$ m/s). در شکل ۳-ب سرعت قائم در امتداد خط افقی مرکزی مربع و در شکل ۳-ب نیمرخ‌های سرعت افقی در امتداد خط قائم مرکزی مربع به صورت بی‌بعد نشان داده شده‌اند. از مشاهده این اشکال می‌توان نتیجه‌گیری کرد که نتایج روش SPH حاضر با نتایج روش تفاضل محدود همخوانی مناسبتری دارند.

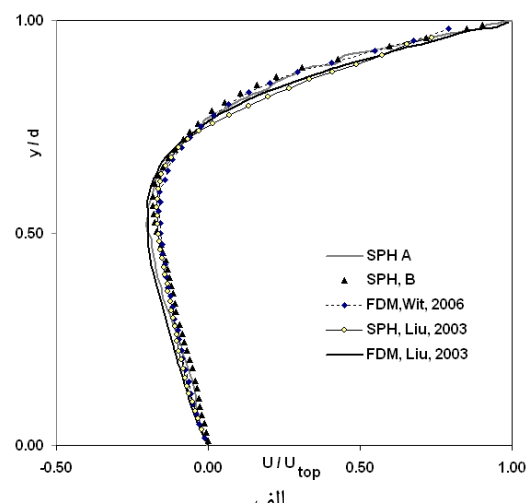
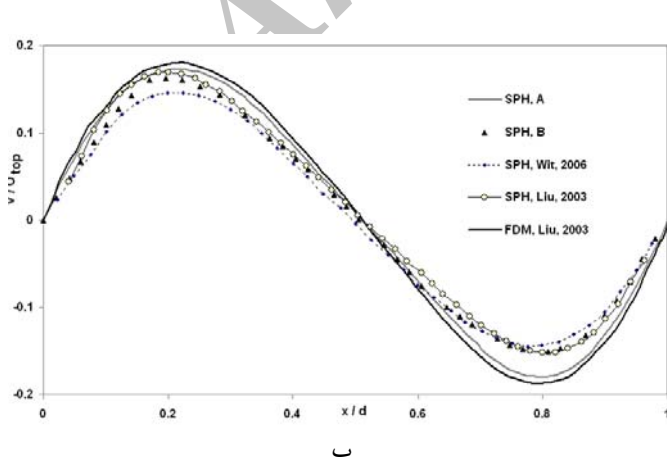


شکل ۲- بردارهای سرعت در حالت پایدار جریان گودال برپشی.

در اینجا برای مدل‌سازی مرزهای باز ورودی و خروجی از تکنیک مرزهای پریودیک استفاده شده است. به این صورت که در هر گام زمانی قبل از انجام محاسبات، ذرات موجود در سمت راست مرز سمت چپ که در فاصله ($4h < x < 0$) قرار دارند با تمام خصوصیاتشان از جمله سرعت و چگالی در سمت راست مرز سمت راست تکرار می‌شوند و همچنین ذرات موجود در سمت چپ مرز سمت راست که در فاصله ($-2h < x < -4h$) قرار دارند در سمت چپ مرز سمت چپ تکرار می‌شوند.

۲-۳- جریان گودال برپشی

در مساله گودال برپشی که به عنوان یکی از آزمونهای استاندارد برای بررسی تاثیر لزجت به کار بردۀ می‌شود، جریان سیال درون یک سطح مربعی که با مرزهای بسته محصور است و مرز بالایی آن با سرعت ثابتی حرکت می‌کند، شبیه‌سازی می‌شود. جریان سیال پس از مدتی به حالت تعادل می‌رسد و یک گردابه تشکیل می‌شود. در اینجا آزمون به کار رفته توسط محققین پیشین (Liu & Liu, 2003; Wit, 2006) که مربعی به ضلع 0.001 متر که سیال درون آن آب با چگالی 1000 کیلوگرم بر مترمکعب و لزجت سینماتیکی 10^6 مترمربع بر ثانیه می‌باشد و ضلع بالایی با سرعت 0.001 متر بر ثانیه حرکت می‌کند، شبیه سازی می‌شود. تعداد 1600 ذره (40×40) ذرات آب و 320 ذره مرزها را تشکیل می‌دهند. بعد از حدود 4000 گام زمانی که معادل 0.25 ثانیه است، جریان به حالت پایدار می‌رسد که نتایج تحقیقات قبلی براساس همین پایداری ارایه شده است. در این تحقیق اجرای برنامه برای زمانهای زمانی کند و ادامه داده شد و مشاهده شد که حالت پایدار به تدریج تغییر می‌کند و پس از حدود 23000 گام زمانی که معادل 1.32 ثانیه است جریان



شکل ۳- نیمرخ‌های سرعت در آزمون گودال برپشی: (الف) سرعت افقی (ب) سرعت قائم.

۳-۳- شکست سد

با افزایش اندازه ذرات حل نوسانی می‌شود و با کاهش اندازه ذرات از نوسانات کاسته می‌شود. به طوری که حل‌های با اندازه ذرات 0.02 m و 0.01 m با وجود اختلاف کم مشابه می‌باشند و بیشتر از آنکه به نتایج آزمایشگاهی نزدیک باشند، به حل عددی VOF نزدیک است. در هر حال با توجه به اختلاف قابل توجه تعداد ذرات که در حدود $3/6$ برابر بیشتر می‌باشد، می‌توان گفت در نظر گرفتن اندازه ذرات برابر با 0.02 m مناسب می‌باشد و نتایج ارایه شده با اتخاذ این مقدار به دست آمداند.

مقایسه نتایج SPH با نتایج آزمایشگاهی و نتایج مدل عددی Nielsen برای عمق آب در H1 و H2 به ترتیب در اشکال ۵-الف و ۵-ب نشان داده شده است. ارتفاع آب در محلهای اندازه‌گیری به تدریج بالا می‌آید و پس از برخورد آب به دیواره و برگشت آب به صورت ناگهانی ارتفاع آب افزایش می‌یابد. ارتفاع سنج H1 که به دیواره نزدیکتر است این تغییر را زودتر ثبت می‌کند. تا قبل از برخورد به دیواره حلهای مختلف اختلاف ناچیزی دارند به گونه‌ای که در شکل ۵ برای زمانهای قبل از $t = \sqrt{g/h}$ به سختی قابل تمیز می‌باشند. اما پس از برخورد آب به دیواره اختلاف نتایج زیاد می‌شود و ارتفاع محاسبه شده عددی بیشتر از آزمایشگاهی است. پس از مدتی سطح آب پایین افتاده و پایین‌تر از سطح آب در مدل آزمایشگاهی قرار می‌گیرد.

در شکل ۶ نتایج فشارسنج P2، افزایش پیوسته فشار را از لحظه برخورد آب به دیواره نشان می‌دهد تا جایی که اولین پیک نمایان می‌شود که در اثر برگشت آب از دیواره رخ می‌دهد. یک پیک کوچک دیگر هم در اثر پایین آمدن آب بر روی دیواره ظاهر می‌شود. فشار محاسبه شده عددی پایین‌تر از آزمایشگاهی است اما پیک دوم آن تقریباً بر پیک آزمایشگاهی منطبق است.

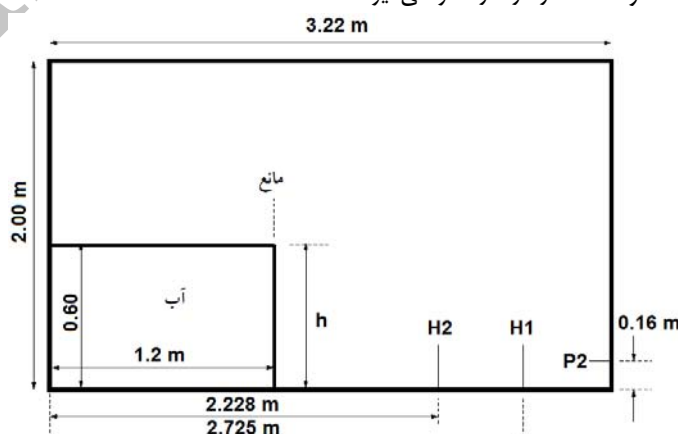
پدیده شکست سد که با برداشتن ناگهانی یک مانع از جلوی یک حجم آب و رهاشدن سریع آب رخ می‌دهد، به عنوان یکی از تست‌های پایه در مطالعات جریانهای سطح آزاد به کار می‌رود (Hirt & Nichols, 1981; Pan CH et al., 1993; Zhou et al. (1999); Shao & Lo, 2003; Monaghan, 1994) درون مخزنی به عرض یک متر و مطابق با شکل ۴ جریان ناشی از شکست سد و برخورد آن به دیواره را به صورت آزمایشگاهی بررسی نمودند. تغییرات سطح آب با استفاده از دو دستگاه عمق‌سنج (H1 و H2) که به ترتیب در فواصل 0.725 m و 2.228 m از دیواره قرار دارند اندازه‌گیری می‌شود. فشارسنج در فاصله 0.16 m از کف قرار دارد و فشار را اندازه‌گیری می‌نماید. Nielsen (2003) نتایج آزمایشگاهی مذکور را برای مقایسه مدل عددی خود که براساس یک روش VOF تهیه شده بود به کار گرفت. در اینجا نتایج آزمایشگاهی مذکور و نتایج مدل Nielsen (2003) با نتایج مدل SPH مقایسه می‌گردد.

در مدل SPH وقتی که نیاز است شبیه‌سازی با استفاده از فشار هیدروستاتیکی شروع شود (شبیه شکست سد)، توزیع چگالی اولیه ذرات به صورت زیر تعریف می‌شود (Monaghan, 1992):

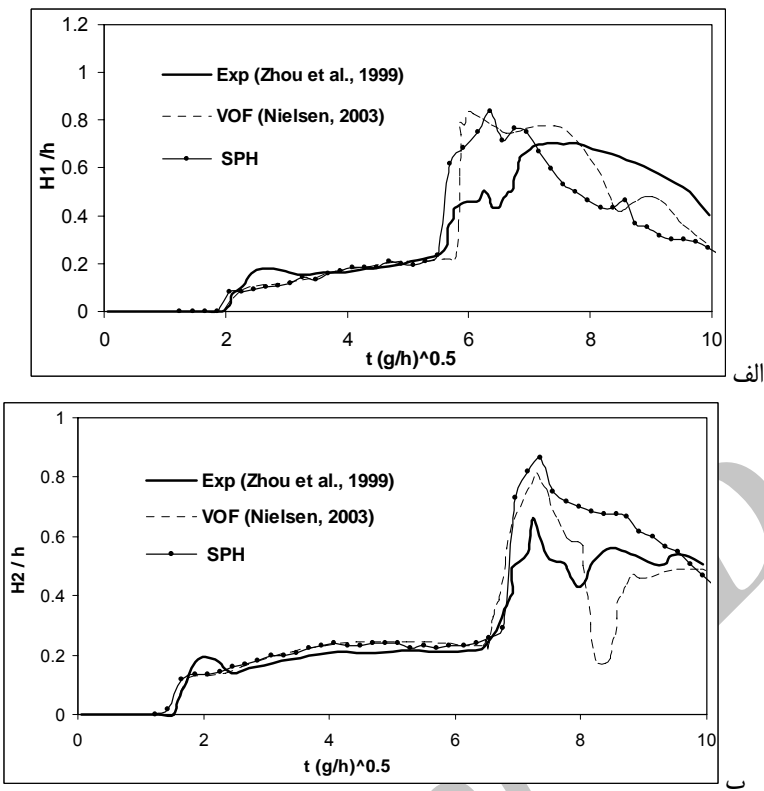
$$\rho_i = \rho_0 \left(1 + \frac{\rho_0 g(d - y_i)}{B}\right)^{\frac{1}{\gamma-1}} \quad (16)$$

که d عمق اولیه آب، y_i موقعیت قائم ذره و B پارامترها مانند قبل می‌باشند.

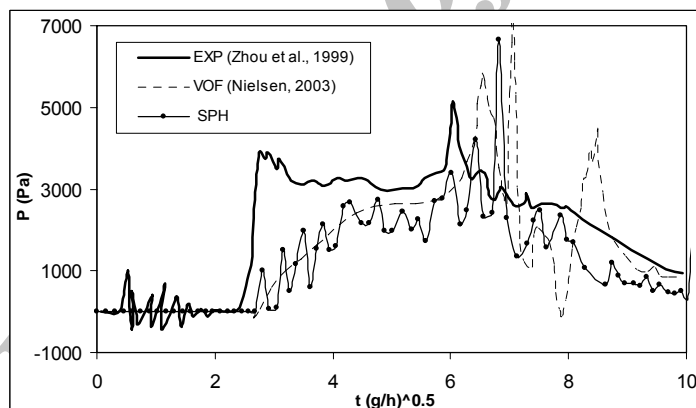
به منظور دستیابی به تعداد ذرات مناسب برای شبیه‌سازی، فواصل اولیه ذرات 0.03 m ، 0.025 m و 0.01 m انتخاب می‌شود که به ترتیب تعداد 1103 ، 1512 و 2247 ذره را در نظر می‌گیرند.



شکل ۴- مخزن مورد استفاده در شبیه‌سازی شکست سد (Zhou et al., 1999)



شکل ۵- تغییرات ارتفاع آب (بی بعد شده) با زمان (بی بعد شده) در محلهای H1 (الف) و H2 (ب) برای مساله شکست سد



شکل ۶- تغییرات فشار (Pa) با زمان (بی بعد شده) در نقطه P2 برای مساله شکست سد

جدول ۱- ضریب همبستگی و درصد خطای حلهای عددی با نتایج آزمایشگاهی Zhou et al. (1999)

	VOF (Nielsen et al., 2003)		1-phase SPH	
	درصد خطای همبستگی	ضریب همبستگی	درصد خطای همبستگی	ضریب همبستگی
H1	35.0	0.832	27.8	0.821
H2	29.1	0.811	28.5	0.945
P2	64.5	0.367	56.6	0.548

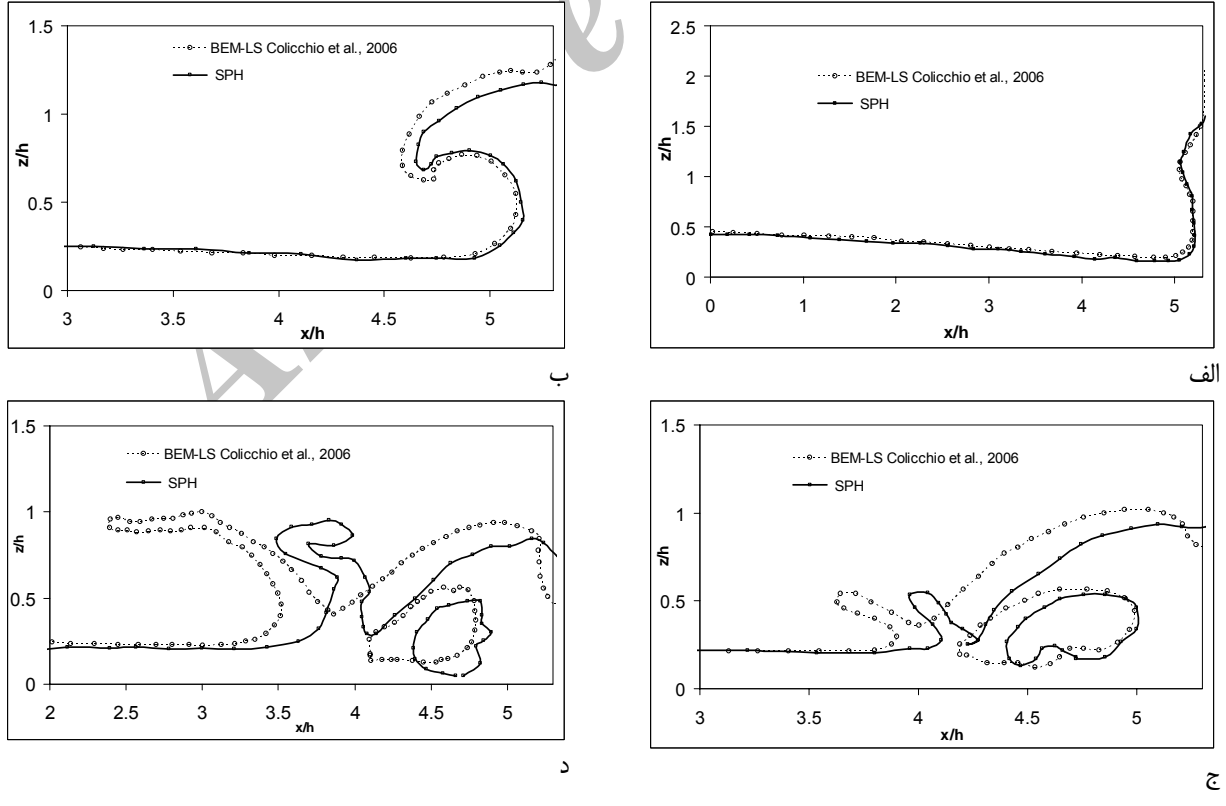
درصد اختلاف و ضریب همبستگی بین نتایج عددی و آزمایشگاهی محاسبه گردیده که نتایج آن در جدول ۱ ارایه شده است. از مقایسه اعداد موجود در این جدول و با توجه به نمودارهای اشکال ۵ و ۶ ارایه شده می‌توان چنین نتیجه‌گیری کرد که در مجموع مدل SPH بهتر از مدل عددی Nielsen شکست سد را شبیه‌سازی می‌نماید. هرچند نتایج آزمایشگاهی و عددی به هم شباهت دارند، اما تطابق لازم بین نتایج وجود ندارد. در هر حال در نتایج آزمایشگاهی همانگونه که ادعا شده است، تغییر خلی کوچک در شرایط اولیه باعث تغییرات قابل توجهی در نتایج می‌شود.

است و بعد از برخورد جریان به دیواره نتایج شبیه به هم می‌باشند. مدل SPH سطح آب را پایین‌تر از مدل Colicchio نشان می‌دهد. وجود هوای محسوس در بالشتک به وجود آمده در مدل دوفازی Colicchio سطح بزرگتری را نسبت به مدل SPH که تک‌فازی است (فقط ذرات آب را در نظر می‌گیرد)، نشان می‌دهد که در تیجه وجود ذرات هوا در مدل Colicchio و همکاران برخورد جت آب برگشتی به سطح آب در فاصله دورتری از دیواره اتفاق می‌افتد.

علاوه بر آزمون‌های فوق، رها شدن ناگهانی یک ستون آب به ارتفاع $1/10$ متر درون یک مخزن مستطیلی نیمه بی‌نهایت (یعنی ستون آب پس از رها شدن مسیر خیلی طولانی‌ای را قبل از رسیدن به دیواره مقابله مخزن طی می‌کند) به صورت آزمایشگاهی مدل‌سازی شده است. Martin and Moyce (1952) و محققان دیگری این نتایج آزمایشگاهی را برای صحبت‌سنجدی مدل‌های مختلف جریان سطح آزاد به کار برداشتند که از آن جمله می‌توان مدل‌های اوبلری که از تکنیک VOF (Pan CH et al., 1993) یا تکنیک MAC (Shao and Lo, 2003) بهره می‌برند و روش SPH تراکم‌نایزیر (I-SPH) (Colicchio et al., 2006) که معادله پواسون را برای به دست آوردن فشار حل می‌کند، را نام برد.

به این معنی که تکرار یک آزمایش دقیقاً همان نتایج را نمی‌دهد. و این باعث می‌شود که بعد از زمان $t\sqrt{g/h} > 6$ جریان شدیداً وابسته به شرایط اولیه می‌شود و بی‌نظمی‌های به وجود آمده ناشی از همین می‌باشند. علاوه بر این شبیه‌سازی دو بعدی یک جریان سه‌بعدی نیز باعث به وجود آمدن خطای شود.

متاسفانه نیمرخ‌های جریان که از نتایج آزمایشگاهی به دست آمده باشند در هیچ یک از مراجع ارایه نگردیده‌اند. در شکل ۷ نیمرخ بی‌بعد شده سطح آزاد جریان در مثالی مشابه مثال قبلاً (تمام ابعاد و مقادیر مشابه مدل آزمایشگاهی (Zhou et al. (1999) می‌باشد که توسط Colicchio et al. (2006) و با استفاده از Level Set و BEM است به دست دوفازی که ترکیبی از روشهای (h) و (z) به عمق آب در مخزن (h) و (z) می‌باشد. در این شکل نیمرخ‌های بدست آمده از مدل SPH با نتایج عددی Colicchio و همکاران در زمانهای $4/6$ ثانیه، $6/48$ ثانیه و $7/14$ ثانیه به ترتیب در شکل‌های -الف، -ب، -ج و -د با هم مقایسه گردیده‌اند. فاصله عملکرد هر دو مدل در شبیه‌سازی جریان قبل از برخورد به دیواره بسیار نزدیک به یکدیگر



شکل ۷- نیمرخ‌های بی‌بعد شده جریان شکست سد در زمانهای $4/6$ ثانیه (الف)، $5/64$ ثانیه (ب)، $6/48$ ثانیه (ج) و $7/14$ ثانیه (د).

شبیه سازی جریانهای با سطح آزاد مانند نوسان سیال درون مخازن، انتشار امواج دریا و شکست آنها، شکست سد و سونامی به کار برده شود و به عنوان ابزاری در خدمت محققین و مهندسین کشور قرار بگیرد.

۵- تقدیر و تشکر

تحقیق حاضر با حمایت مالی سازمان مدیریت منابع آب و در پژوهشکده مهندسی آب دانشگاه تربیت مدرس انجام شده است. از مسئولین محترم که امکان انجام تحقیق حاضر را فراهم نموده اند و همچنین از کمکهای علمی آقای پروفسور Joe Monaghan در کشور استرالیا تشکر و قدردانی همکارانشان در دانشگاه Monash با تشکر و قدردانی می شود.

۶- مراجع

پناهی، ر، جهانبخش، الف، سیف، م. و شفیعی فر، م. (۱۳۸۶)، شبیه سازی عددی جابجایی مایع درون مخزن و بررسی اثر دیوارهای میانی در کاهش گشتاور ناشی از آن، پانزدهمین کنفرانس بین المللی مهندسی مکانیک، تهران، ایران، ۲۷-۲۵ اردیبهشت.

حسینی امین، س.م. و تقی زاده منظری، م. (۱۳۸۳)، استفاده از روش SPH برای مدل سازی Sloshing در یک مخزن نیمه پر، نشریه مهندسی دریا، سال اول شماره دوم، ۱۰-۱.

منصور رضایی، ص. و عطایی آشتیانی، ب. (۱۳۸۷)، شبیه سازی عددی امواج ضربه ای با استفاده از روش هیدرودینامیک ذرات هموار شده تراکم پذیر، هفتمین کنفرانس هیدرولیک ایران،

ولی زاده، ع. (۱۳۸۷)، مدل سازی دوفازی پخش و انتقال آلودگی های نفتی در دریا، رساله دکتری سازه های هیدرولیکی، دانشگاه تربیت مدرس، تهران، ایران.

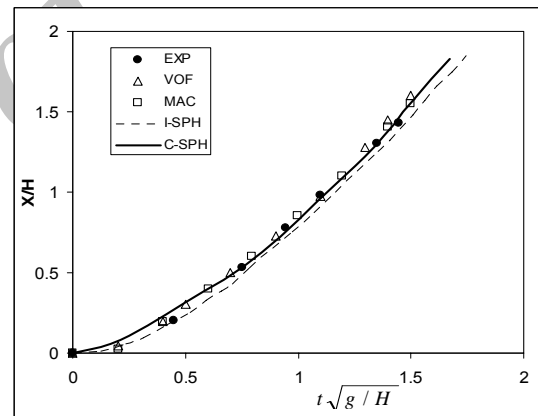
Batchelor, G. K. (1974), *An introduction to fluid mechanics*. Cambridge University Press: Cambridge, 635 p.

Benz, W. (1990), Smooth particle hydrodynamics: a review, in: J.R. Buchler (Ed.), *The Numerical Modeling of Nonlinear Stellar Pulsation*, Kluwer Academic Publishers, Dordrecht, pp. 269-288.

Colicchio, G., Greco, M. & Faltinsen, O. M. (2006), "A bem-level set domain decomposition strategy for nonlinear and fragmented interfacial flows", *Journal for Numerical Methods in Engineering*, Vol. 67, pp. 1385-1419.

در این تحقیق نیز از نتایج آزمایش مذکور به منظور صحبت سنجد مدل SPH تهیه شده (که در شکل ۸ با C-SPH نشان داده شده است) استفاده شده است. در مدل SPH حاضر از ۸۰۰ ذره برای آب و ۱۶۰ ذره برای مرزهای جامد که فاصله اولیه بین آنها ۰/۰۵ متر است استفاده شده است. در شکل ۸ تغییرات جبهه موج (x/H) با زمان (T) و مقایسه با نتایج آزمایشگاهی (Martin (T = $t\sqrt{g/H}$) و مقایسه با نتایج آزمایشگاهی (Pan CH et al., 1993 MAC & Moyce, 1952 مدل اویلری VOF (Hirt & Nichols, 1981) و مدل SPH تراکم ناپذیر (I-SPH) (Shao & Lo, 2003) قابل مشاهده است. اختلاف متوسط نتایج مدل SPH با نتایج آزمایشگاهی ۴/۳ درصد و با نتایج مدل های VOF، MAC و I-SPH به ترتیب ۱۶/۵، ۱۶/۵ و ۴/۴ درصد می باشد.

با انجام این آزمونها عملکرد مدل SPH تهیه شده در مدل سازی جریانهای با سطح آزاد که تغییرات سریع در سطح آزاد اتفاق می افتد، به خوبی نشان داده شد.



شکل ۸- مقایسه نتایج شکست سد در مدل SPH (C-SPH) و تحقیقات قبلی

۴- جمع بندی و نتیجه گیری

در این تحقیق براساس معادلات روش SPH استاندارد یک مدل عددی برای شبیه سازی جریانهای با سطح آزاد تهیه شد که به جای حل معادله پواسون برای به دست آوردن فشار از معادله حالت و با در نظر گرفتن مقداری تراکم پذیری فشار را محاسبه می کند. صحبت سنجدی مدل تهیه شده از مقایسه نتایج به دست آمده برای جریانهای بر بشی نظری جریان بین دو صفحه موازی و جریان گودال بر بشی و همچنین جریان سطح آزاد شکست سد با نتایج آزمایشگاهی و عددی انجام گرفت که تمام آزمونهای انجام شده موبد عملکرد مناسب مدل SPH تهیه شده می باشند. بنابراین این مدل می تواند در

- Monaghan, J.J. (1992), "Smoothed particle hydrodynamics", *Annual Review of Astronomy and Astrophys*, Vol. 30, pp. 543–574.
- Monaghan, J.J. (1994), "Simulating free surface flows with SPH". *Journal of Computational Physics*, Vol. 110, No.2, pp. 399–406.
- Monaghan, J.J. (2005), "Smoothed particle hydrodynamics". *Reports on Progress in Physics*, Vol. 68, pp. 1703–1759.
- Monaghan, J.J., Cas, R.A.F., Kos, A.M. and Hallworth, M. (1999), "Gravity currents descending a ramp in a stratified tank", *Journal of Fluid Mechanics*, Vol. 379, pp. 39–70.
- Nielsen, K.B. (2003), "Numerical prediction of green-water loads on ships, PhD thesis", Technical university of Denmark, Denmark.
- Pan CH, Xu XZ and Lin BY. (1993), "Simulating free surface flows by MAC method", *Estuary and Coastal Engineering*, No. 1–2, pp. 51–58.
- Shao, S. and Edmond Y.M. Lo (2003), "Incompressible SPH method for simulating Newtonian and non-Newtonian flows with a free surface", *Advances in Water Resources* Vol. 26, pp. 787–800.
- Vaughan, GL. (2005), "Simulating breaking waves using smoothed particle hydrodynamics". Ph.D. Thesis, University of Waikato, Hamilton, New Zealand.
- Wit, D.L. (2006), "Smoothed Particle Hydrodynamics A Study of the possibilities of SPH in hydraulic Engineering", MSc Thesis, Delft University of Technology.
- Zhou, Z. Q., de Kat, J. O. and Buchner, B. (1999), *A nonlinear 3-D Approach to simulate green water dynamics on deck*. In 7th International Conference on Numerical Ship Hydrodynamics. Nantes.
- Dalrymple, RA. and Knio O. (2001), "SPH modeling of water waves. Proceeding of Coastal Dynamics", ASCE, Lund, Sweden, pp. 779–787.
- Gomez-Gesteira, M., Cerqueiro, D. and Dalrymple, R.A. (2005), "Green water overtopping analyzed with a SPH model", *Ocean Engineering*, Vol. 32, pp. 223–238.
- Gotoh, H., Shao, S.D. and Memita, T. (2004), "SPH-LES Model for Numerical Investigation of Wave Interaction with Partially Immersed Breakwater". *Coastal Engineering Journal*, 46(1), pp. 39–63.
- Hirt, C.W. and Nichols BD. (1981), "Volume of fluid (VOF) method for the dynamics of free boundaries". *Journal Computational Physics*, 39, pp. 201–25.
- Koshizuka, S., Nobe, A. and Oka, Y. (1998), "Numerical Analysis of Breaking Waves Using the Moving Particle Semi-Implicit Method". *Int. J. Numer. Meth. Fluids*, Vol. 26, pp. 751–769.
- Lin, P.Z. and Liu, L.F. (1998a), "A Numerical Study of Breaking Waves in the Surf Zone". *J. Fluid Mech.* Vol. 359, pp. 239–264.
- Liu, G.R. and M.B. Liu, (2003), "Smoothed Particle Hydrodynamics—A Meshfree Particle Method", World Scientific, Singapore.
- Martin, JC. and Moyce W.J. (1952), "An experimental study of the collapse of liquid columns on a rigid horizontal plane". *Philosophical Transactions of the Royal Society of London Series A-Mathematical Physical and Engineering Sciences, Ser. A*, Vol. 244, pp. 312–24.
- Monaghan, J.J. (1985), "Particle Methods for Hydrodynamics", *Physics Reports*, 3(2), 71p.